

**Universitatea “Ştefan cel Mare” din Suceava**

**Raport științific**

2021

**Titlul proiectului:**

*„Nanostructuri particulate de tip multistrat cu constanta dielectrică ridicată cu aplicatii pentru stocarea energiei si dispozitive nanoelectronice - HIGHkDEVICE”*

**Perioada de raportare: 1 Ianuarie 2021 – 31 Decembrie 2021**

**Cod Proiect:** PN-III-P4-ID-PCCF-2016-0175

**Nr. Contract:** PCCF18/2018

**Structura Consorțiului:**

**(Co) Universitatea „Ştefan cel Mare” din Suceava (USV) - Coordonator**

**(P1) Universitatea “Alexandru Ioan Cuza” din Iași (UAIC) - Partener**

**(P2) Institutul National de Cercetare Dezvoltare pentru Fizica Materialelor (INCDFM) - Partener**

**(P3) Institutul Național pentru Fizica Laserilor, Plasmei și Radiației (INFLPR) - Partener**

**DIRECTOR DE PROIECT,  
Conf. univ. dr. Aurelian ROTARU**

**- Suceava 2021 -**

## 1. REZUMATUL ETAPEI DE CERCETARE DIN ANUL 2021

În conformitate cu planul de cercetare al acestui proiect, în cadrul acestei etape au fost efectuate activități legate de *caracterizarea structurală a nanocuburilor de BaTiO<sub>3</sub> cu diferite marimi pasivate cu diferiti liganzi organici pentru studiul tranzitilor de fază, masurarea proprietăților lor dielectrice și ferroelectrice, fabricarea de straturi subtiri dielectrice folosind nanocuburi de BaTiO<sub>3</sub> și caracterizarea lor în condensatori planari rigizi și flexibili și tranzistori cu efect de camp și fabricarea de nanocompozite dielectrice folosind nanoparticule ferroelectrice și polimeri.* Aceste activități sunt detaliate mai jos pentru fiecare dintre activitățile cuprinse în planul de cercetare.

## 2. DESCRIEREA STIINTIFICA SI TEHNICA CU PUNEREA IN EVIDENTA A REZULTATELOR ETAPEI

**Activitate 4.1.1. Depunerea electrozilor pe straturile subtiri în condiții de laborator. Testarea și validarea funcționalității lor. Stabilirea unui protocol de fabricație (în planul de cercetare).** În aceasta etapa una din activitățile de cercetare a constituit depunerea de straturi subtiri dielectrice prin diferite metode folosind substraturi rigide și flexibile, precum și depunerea de electrozi metalici și studiul microstructurii straturilor subtiri dielectrice și a interfețelor dintre acestea și electrozii metalici folosind microscopia electronică. Electrozi metalici cu geometrii diferite, de forma sferică și longitudinală au fost depuși prin pulverizare catodică din Al și Pt., folosind măști cu geometria dorită. Cateva tipuri de electrozi fabricați pentru a fi incorporați în condensatori și tranzistori cu efect de camp sunt prezentate în Figura 1.

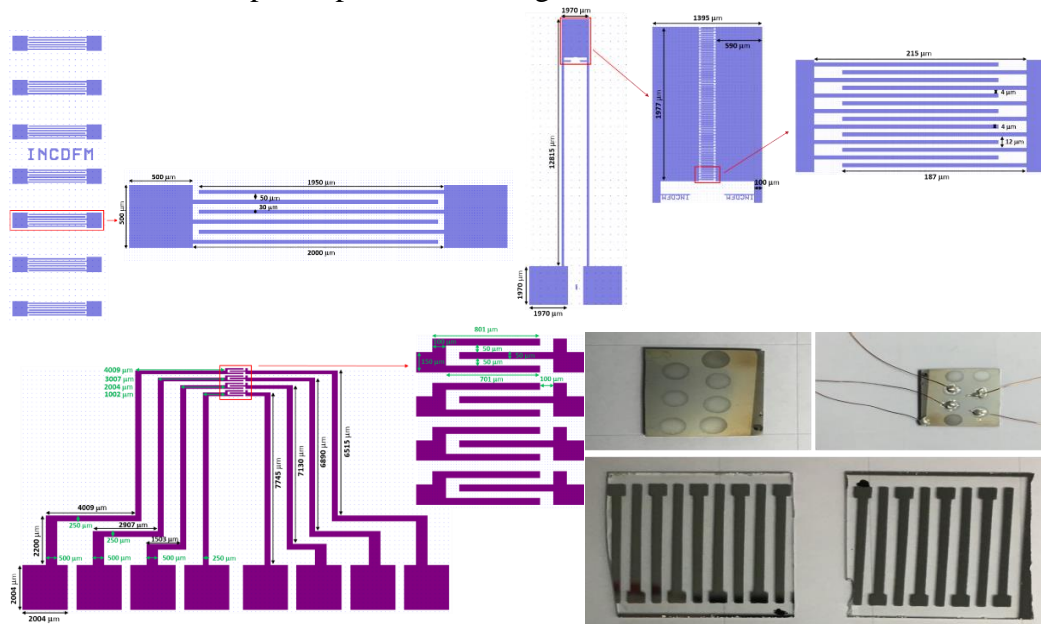
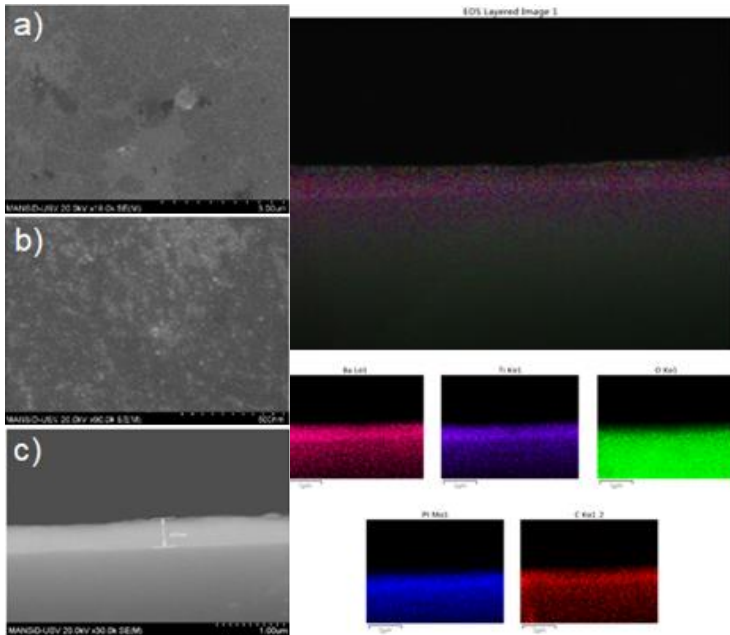


Figura 1. Tipuri de electrozi interdigitati si dispozitive obtinute dupa depunerea electrozilor metalici

Fabricarea electrozilor în diferite geometrii a permis inițierea unui studiu sistematic al diferitor metode de organizare a nanocuburilor de BaTiO<sub>3</sub> folosind diferite metode, ce includ precum drop-casting, imersie, spin-coating sau depunere în câmp electric prin dielectroforeză. În vederea unei mai bune organizări ale nanoparticulelor sub formă de strat subțire, suprafața acestora au fost

funcționalizată, ceea ce impune caracterizarea structurală a nanocuburilor de  $\text{BaTiO}_3$  cu diferite dimensiuni și suprafața pasivată cu diferite specii organice sau anorganice.

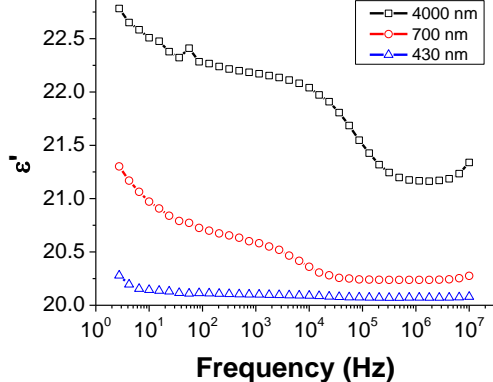
#### 4.1.1.1. Obținerea de straturi subțiri prin drop-casting.



**Figura 2.** Imagini SEM: vedere de sus (a) și (b) și în secțiune transversală (c) ale stratului de  $\text{BaTiO}_3$  obținut, cu o grosime de cca 430 nm și hartile de compozitie ale acestor regiuni obținute prin analiza de raze X (EDX)

Această metodă extrem de simplă s-a dovedit în multe cazuri a fi o metodă eficientă în obținerea de straturi subțiri. Au fost obținute mai multe serii de straturi subțiri de grosimi diferite. O primă serie au fost depuse pe un substrat de sticlă acoperit cu un strat de platină de cca. 100 nm grosime și cu o rugozitate medie de cca. 1 nm. Mai jos sunt redate o serie de 3 straturi subțiri cu grosimi de 430 nm, 700 nm și, respectiv, 4000 nm, obținute din soluții coloidale de nanoparticule (cernele) de  $\text{BaTiO}_3$  cu dimensiuni cuprinse între 10 nm și 150 nm. Micrografile electronice (Figura 2a-c) relevă obținerea unor straturi subțiri continue pe suprafețe de ordinul  $\text{cm}^2$  și dense. Așa cum se observă din Figura 2, analiza elementală ale structurilor obținute a fost realizată cu ajutorul analizei de raze X furnizate de catre microscopul electronic, rezultatele confirmând

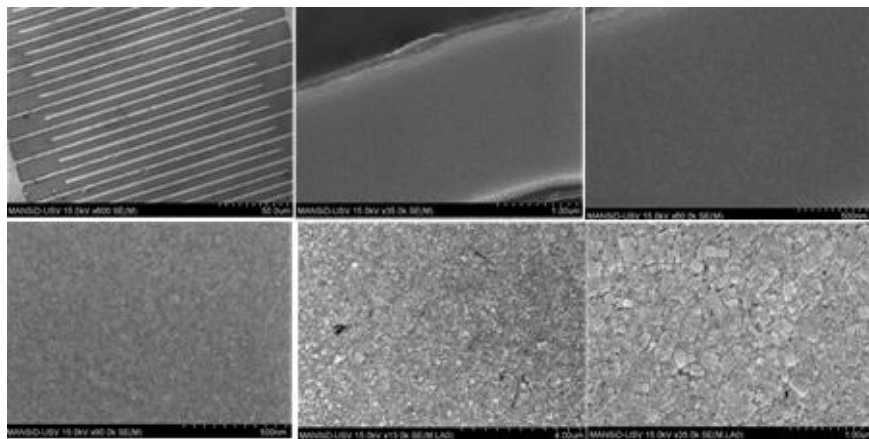
faptul ca fiecare film prezintă compozitia stoichiometrică prevazută. Variatia proprietăților dielectrice ale straturilor subțiri cu frecvența a fost studiată, o măsurare reprezentativă pentru straturile subțiri cu cele trei grosimi fiind ilustrată în Figura 3. Valoarea constantei dielectrice a acestor straturi subțiri la frecvențe joase variază între 20 și 23, în funcție de grosimea stratului iar constanta dielectric scade ușor odată cu creșterea frecvenței de măsurare.



**Figura 3.** Variația permisivității dielectrice a straturilor subțiri de  $\text{BaTiO}_3$  cu frecvență.

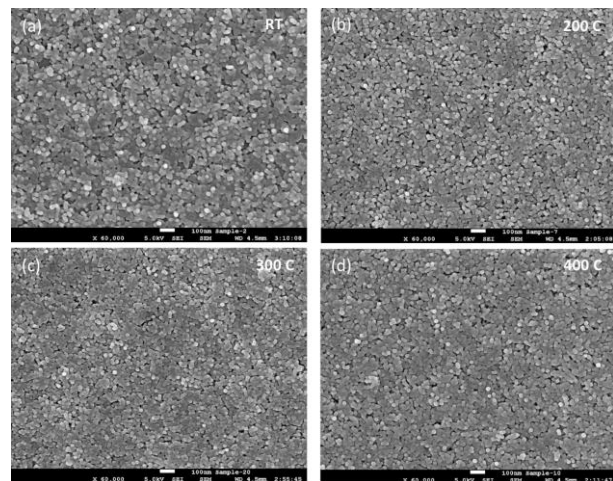
straturilor subțiri. În această etapă s-a inițiat studiul orientării nanocuburilor feroelectrice individuale de  $\text{BaTiO}_3$  folosind un camp electric generat de microelectrozi interdigitati prin dielectroforeză. În Figura 4 sunt prezentate imagini SEM ale straturilor subțiri obținute prin această metodă prin organizarea particulelor de  $\text{BaTiO}_3$  de diferite dimensiuni. Se observă că în prezența campului electric nanocuburile de  $\text{BaTiO}_3$  cu o marime de 15 nm se orientează, cel mai multe

dintre ele aliniindu-se si ajungand in contact unele cu altele. In prezent se realizeaza un studiu detaliat al fabricarii de straturi subtiri dielectrice si feroelectrice folosind metoda dielectroforezei,



**Figura 4.** Imagini SEM ale straturilor subtiri de  $\text{BaTiO}_3$  obtinute prin dielectroforeza din solutii coloidale formate din particule cu dimensiuni diferite.

constituite din nanocuburi uniforme care se gasesc in contact unele cu altele. Asa cum se observa din Figurile 5a-d, straturile subtiri obtinute din nanoparticule de  $\text{BaTiO}_3$  cu dimensiunea de 15 nm devin mai dense insa nu isi modifica morfologia dupa tratamentul termic la temperaturi de pana la 400 °C. *Rezultatele preliminare au aratat ca grosimea straturilor subtiri poate fi variata intr-un interval larg de valori, de la zeci de nanometri la zeci de micrometri prin variația atat a concentrației nanoparticulelor în soluție, vitezei de evaporare a solventului și a numărului de depuneri efectuate.*



**Figura 5.** Imagini de microscopie electronica de baleaj a straturilor subtiri depuse pe substrat flexibil de polimida prin depunere directa din solutii coloidala de nanoparticule in toluen si tratate la diferite temperaturi: a) netratat; b) 200 °C; c) 300 °C si d) 400 °C.

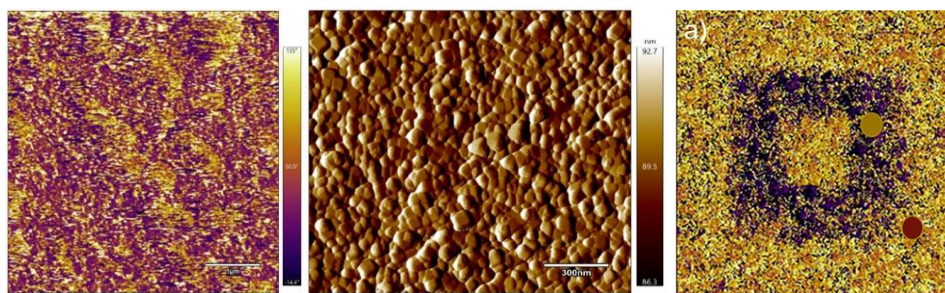
Straturile subtiri depuse pe foliile de Kapton sunt transparente, ceea ce le face foarte atractive pentru folosirea lor pentru fabricarea de componente electronice flexible (condensatori planari sau tranzistori cu effect de camp). Drept substrat s-au folosit substraturi subtiri de poliimida (Kapton), fiindca sunt substraturi flexibili, cu o rezistenta mecanica si termica ridicata, fiind rezistente la temperaturi de pana in 400 °C, ceea ce permite incalzirea substraturilor si a straturilor subtiri dupa depunere in vederea eliminarii golorilor de aer, moleculelor de acid oleic de pe suprafata nanocuburilor, precum si a moleculelor de solvent neevaporat.

#### Activitate 4.4.3. Analiza topologica a straturilor subtiri si electrozilor prin microscopie de forta atomica (AFM)

In aceasta etapa s-a initiat studiul topologiei straturilor subtiri depuse folosind tehnici de microscopie de forta atomica, eforturi care vor fi continuate in anul 2022. Figura 6 ilustreaza morfologia si raspunsul piezoelectric al unui strat subtire de  $\text{BaTiO}_3$  cu grosimea de 300 nm obtinut

prin depunerea unei solutii continand nanocuburi de BaTiO<sub>3</sub> cu marimea de 15 nm pe un substrat de poliimida. Se observa ca stratul subtire este uniform si nu prezinta rugozitati sau defecte, cum ar fi crapaturi sau goluri, nanocuburile din care este constituit fiind usor de observat.

Raspunsul piezoelectric al acestui strat subtire in prezenata unui camp electric



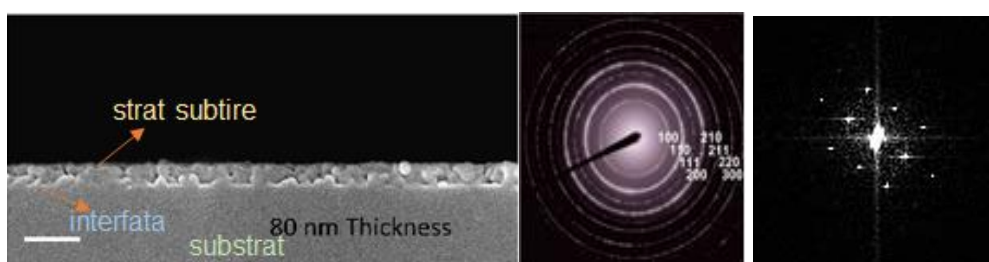
**Figura 6.** Imagini de microscopie de forta atomica (stanga) a unui strat subtire cu grosimea de 300 nm dupus dintr-o solutie de nanocuburi de 15 nm de BaTiO<sub>3</sub> in toluen si raspunsul piezoelectric al acestui film (centru si dreapta).

apare ca o harta cu regiuni galbene si violete, care corespund orientarii dipolilor electrici in directii diametral opuse ("sus" si "jos"), ceea ce confirma faptul ca stratul subtire este ferroelectric la temperatura ambianta. Mai mult, stratul subtire a fost pus in contact cu un electrod foarte ascutit ("tip") prin care s-a aplicat o tensiune de 20 V, ceea ce a condus la orientarea dipolilor electrici in sus. Aceste zone apar in imaginea PFM corespunzatoare (Figura 6 mijloc) in culoarea portocalie. Prin retragerea electrodului si inversand polaritatea curentului urmat de contactul electrodului cu stratul subtire cu electrodul in anumite regiuni selectate, dipolii electrici isi inverseaza diametral orientarea (in jos), aceste zone aparand in imaginile PFM in culoarea violetă. Raspunsul piezoelectric al stratului subtire indica faptul ca acestea pot fi folosite cu succes pentru codarea informatiei sub forma de "0" si "1" folosind algebra Booleana conventionala.

#### Activitate 4.2.1 Studiul microstructurii straturilor subtiri dielectrice si a electrozilor metalici, cat si a interfetelor dintre acestea folosind microscopie electronica (SEM).

In aceasta etapa s-a studiat natura interfetelor dintre electrozii metalici si diferite straturi subtiri, dielectrice sau semiconductoare, stiindu-se ca aceasta poate afecta proprietatile fizice ale acestor materiale. In acest scop, s-au combinat experimente de microscopie electronica (SEM) si de microscopie de forta atomica (AFM). Imagini de microscopie electronica (SEM) si difractie de

electroni sunt illustrate in Figura 7. Asa cum se observa, interfetele dintre electrozii metalici si straturile subtiri dielectrice sau semiconductoare sunt netede,



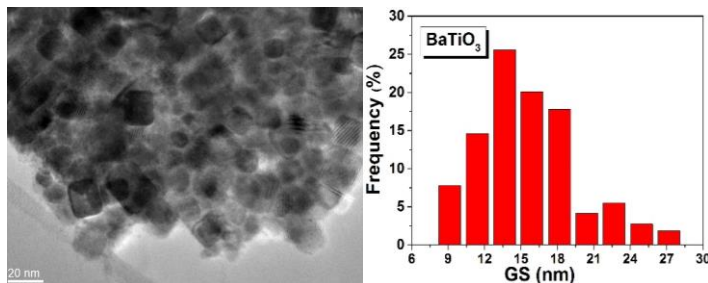
**Figura 7.** Imagini de microscopie si difractie electronica a unui strat subtire format din nanocuburi de BaTiO<sub>3</sub> cu marimea de 15 nm depus pe un substrat de siliciu

rezulta putine defecte si indica absenta de reactii chimice care eventual ar putea avea loc in timpul procesului de depunere a electrozilor metalici, si care ar putea duce la deteriorarea proprietatilor dielectrice sau semiconductorare ale acestor straturi subtiri si, implicit a performantei

dispozitivelor electronice (condensatori, tranzistori, etc.) in care acestea sunt folosite. Stratul subtire de BaTiO<sub>3</sub> ilustrat in Figura 5 a fost depus din solutie urmata de evaporarea lenta a solventului (toluen) si prezinta o grosime de 80 nm fiind depus pe un substrat de siliciu orientat dupa directia <100> prezentand o rezistenta electrica de 0.001 Ω·cm. Straturile subtiri obtinute prin depunerea din solutie nu necesita un tratament termic la temperaturi ridicate pentru a obtine o inalta cristalinitate fiindca nanocuburile de BaTiO<sub>3</sub> sunt monocrystaline, ceea ce duce la evitarea fenomenelor de nucleatie la interfete sau in interiorul stratului subtire, evitand, astfel producerea de variatii microstructurale.

#### **Activitate: 4.1.3 Masuratori de polarizabilitate dielectrica a straturilor subtiri de diferite dimensiuni la diferite temperaturi. Analiza stabilitatii termice.**

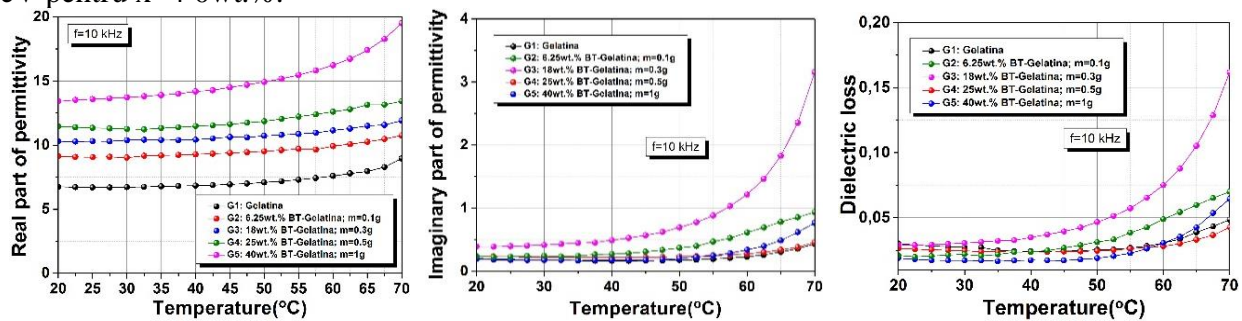
**4.1.3.1. Optimizarea straturilor flexibile compozite xBT-(1-x) gelatina, studiul proprietatilor electrice ale acestora si testarea aplicabilitatii in dispozitive de recuperare de energie.** Nanoparticule de BaTiO<sub>3</sub> (BTO) au fost caracterizate din punct de vedere al microstructurii si compozitiei de faza prin TEM XRD si FTIR (Figura 7). Nanoparticulele de BT ( $d_{med} \sim 17$  nm) au fost folosite pentru a realiza filme groase compozite cu matrice bio-polimerica de gelatina xBT-



**Figura 7.** Imagine TEM si distributia dupa granulatie a nanoparticulelor de BaTiO<sub>3</sub>

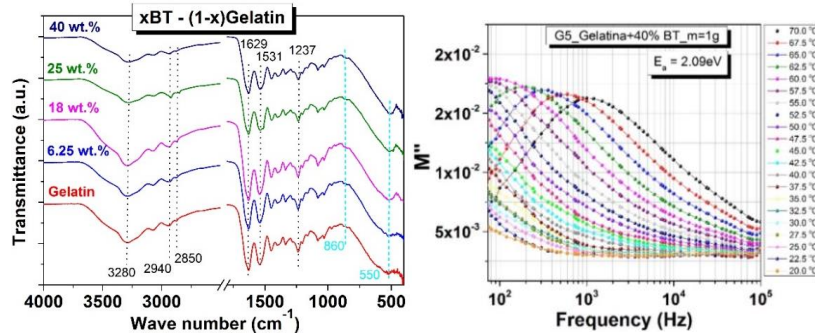
(1-x) gelatina cu  $x = 0, 6.25$  wt.%,  $18$  wt.%,  $25$  wt.% and  $40$  wt.%. Metoda a fost optimizata pentru a asigura o buna dispersie a particulelor, lipsa porozitatii si omogenitate. Permitivitatea creste cu aditia de BTO de la  $\epsilon_r \sim 9.8$  (gelatina) la  $\epsilon_r \sim 15.7$  ( $x=40$  wt.%), la  $10^5$ Hz. A fost analizata comportarea dielectrica a acestora in domeniul de temperatura intre 20

si  $70^\circ\text{C}$  (Figura 8). S-a observat ca variatia relativă a permitivitatii odata cu cresterea temperaturii scade sistematic prin aditia de BTO:  $\sim 8\%$  (6.25 wt.%),  $\sim 7.2\%$  (18 wt.%),  $\sim 6.3\%$  (25 wt.%) si  $\sim 3.5\%$  (40 wt.%), deci **stabilitatea termica se imbunatatesta odata cu aditia de BT**, iar conductivitatea dc la  $20^\circ\text{C}$  scade cu un ordin de marime de la  $5.3 \times 10^{-10}$ S/m in gelatina pura pana la  $2.9 \times 10^{-9}$  S/m in compozitul cu  $x=40$  wt.%. Energia de activare a relaxarii dielectrice (determinata prin analiza Arrhenius a partii imaginare a modulului dielectric -Figura 9) este  $\sim 2.09$  eV pentru  $x=40$  wt.%.



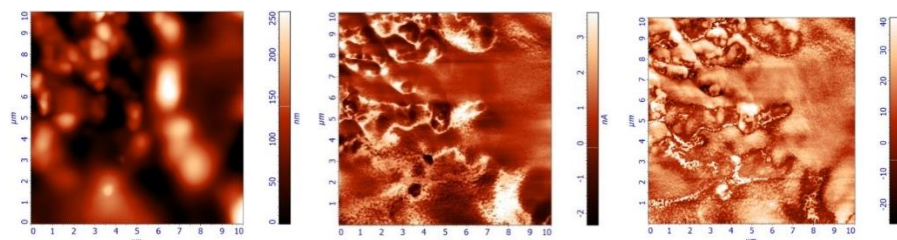
**Figura 8.** Variatia termica a proprietatilor dielectrice in compozite de xBT-(1-x) gelatina cu  $x = 0, 6.25$  wt.%,  $18$  wt.%,  $25$  wt.% and  $40$  wt.%.

Piezoelectricitatea locală a compozitelor și rolul aditiei de BT au fost analizate cu PFM (Figura 10). Masuratori ale coeficientului  $d_{33}$  au fost realizate în zona matricii de Gelatina și respectiv în zone bogate în BTO și s-a realizat o distribuție după valori (Figura 11). Raspunsul piezoelectric crește prin aditia de BT de circa 3 ori, de la valoarea medie de  $\sim 7$  pm/V (zona A, bogată în gelatină) la valoarea medie de  $\sim 2$  pm/V (zona B, bogată în BT). De exemplu, în punctele indicate în Figura 10b au respectiv valorile: (1) 6.2 pm/V; (2) 8.3



**Figura 9.** (Stânga) Spectre FTIR a compozitelor de xBT-(1-x) Gelatină cu  $x = 0, 6.25$  wt.%,  $18$  wt.%,  $25$  wt.% și  $40$  wt.%; (Dreapta) Relaxarea dielectrică observată în  $M''(f)$  la diferite temperaturi.

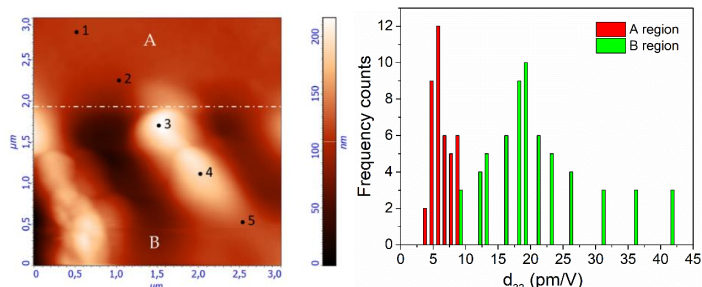
pm/V; (3) 41.6 pm/V; (4) 36.4 pm/V; (5) 20.8 pm/V.



**Figura 10.** Topografie de suprafață 2D; raspunsul PFM în amplitudine și fază în aceeași zonă de  $10\mu\text{m} \times 10\mu\text{m}$ .

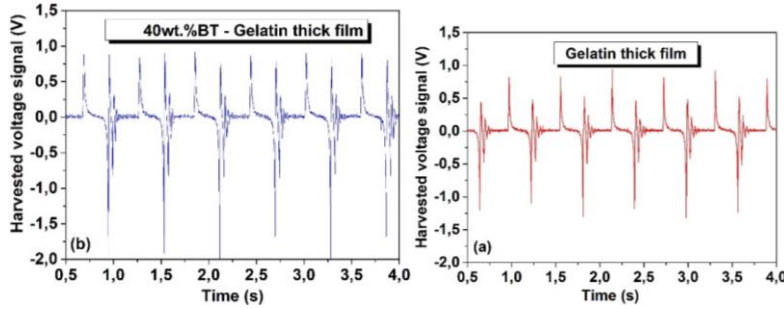
Compozitele flexibile au fost testate ca **senzori piezoelectrici**: tensiunea maxima colectată la o deformare periodică este obținută pentru aditia maximă de  $\text{BaTiO}_3$ ,  $x = 40$  wt% ( $\sim 1.92$  V), cu o creștere de 157% față de raspunsul piezoelectric al bio-polimerului pur ( $\sim 1.22$  V) (Figura 12).

**Concluzie:** În compozitele flexibile realizate prin înglobarea de nanoparticule cubice de BTO în biopolimer (gelatină) se imbunătăște substantial raspunsul dielectric: permisivitatea crește de la 9.8 ( $x=0$ ), la 11.4 ( $x=6.25$  wt.%), 12.22 ( $x=18$  wt.%), 13.4 ( $x=25$  wt.%) și respectiv la 15.7 ( $x=40$  wt.%), pentru frecvența  $f=10^5$  Hz, scade conductivitatea dc cu un ordin de marime și crește raspunsul piezoelectric de cca. 3 ori, în medie. În schimb, ca dezavantaj, scade campul de strapungere, ceea ce nu permite aplicarea tensiunilor mari pentru a crește capacitatea de stocare. Microstructurile



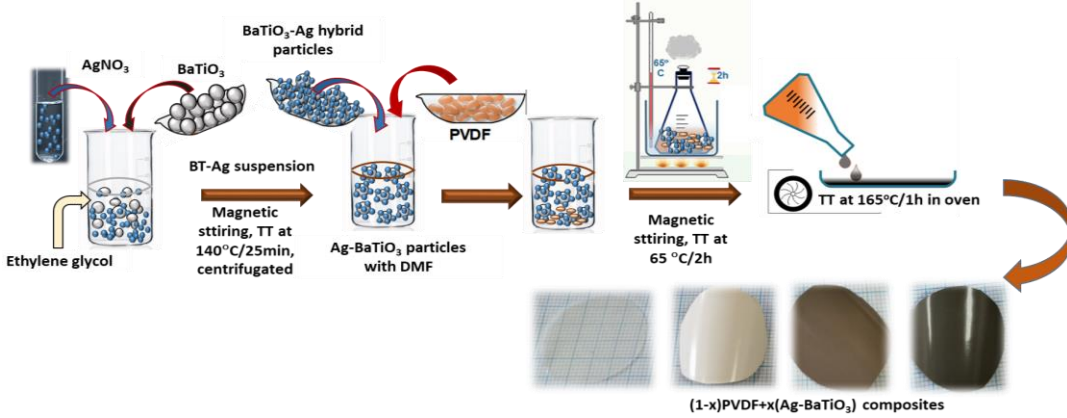
**Figura 11.** (a) Histograme ale coeficientului piezoelectric  $d_{33}$  obținut prin masuratori în 100 pozitii (matrice  $10 \times 10$ ) distribuite omogen pe o suprafață cu aria de  $(3\mu\text{m} \times 3\mu\text{m})$ ; (b) topografie 2D pentru  $x=40$  wt.% BT

ar mai trebui optimizate în acest scop. În schimb, compozitele BTO-gelatină sunt promitătoare ca senzori piezoelectrici biocompatibili și aplicații în recuperare/conversie de energie bazată pe cuplaj piezoelectric.



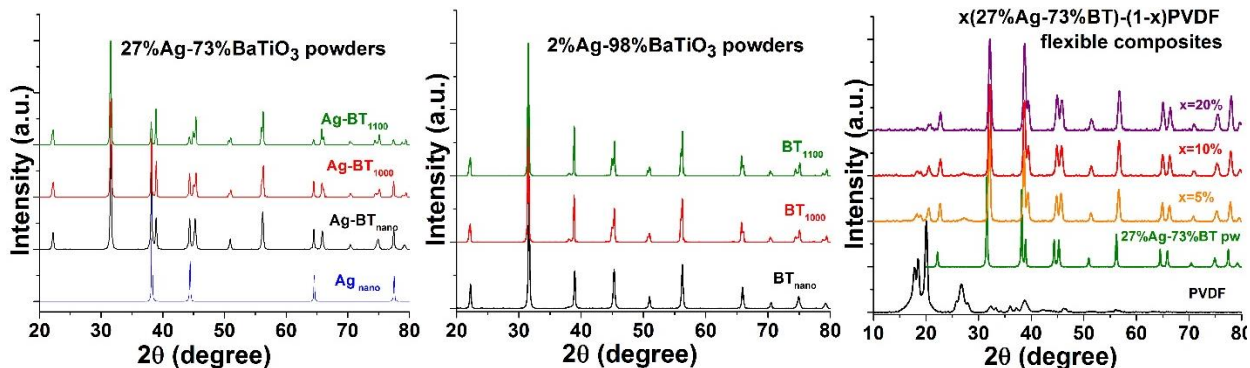
**Figura 12.** Raspunsul piezoelectric in tensiune la o actiune mecanica periodica ( $f=1.71\text{Hz}$ ) pentru un film de gelatina (a) si pentru nanocompozitul 40wt.%  $\text{BaTiO}_3$ -gelatina (b).

particule ultrafine de Ag.



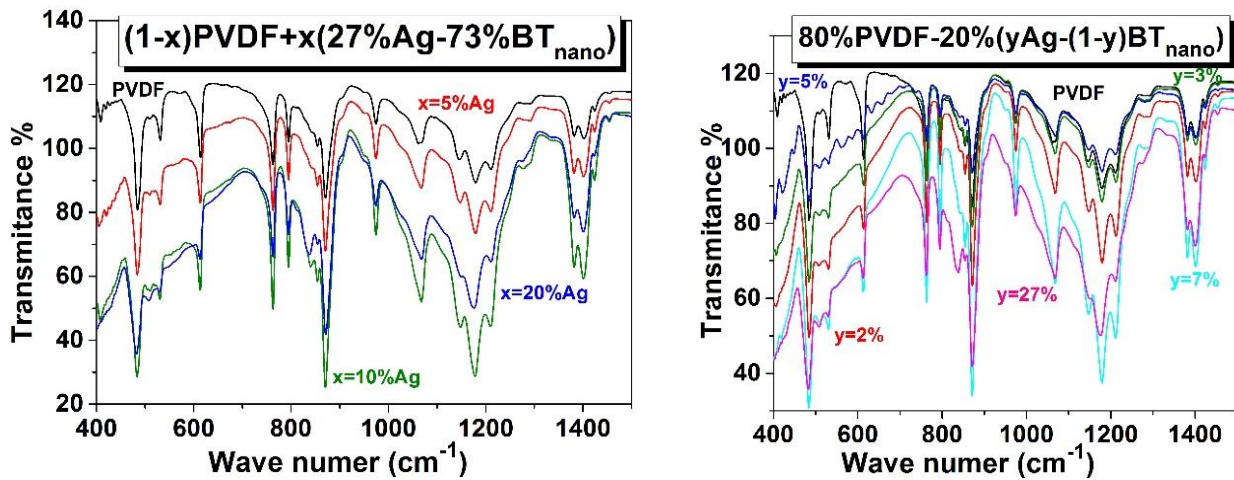
**Figura 13.** Schema de preparare a compositelor flexibile cu inclusiuni hibride  $x(y\text{Ag}-(1-y)\text{BT}_{\text{GS}})-(1-x)\text{PVDF}$

Esantioanele au fost realizate dupa schema de preparare din Figura 13, caracterizate structural prin XRD si AFM/PFM/KPM (Figura 14), apoi prin spectroscopie de vibratie FTIR (Figura 15), iar din punct de vedere micro/nanostructural prin TEM, SEM. Nanoparticulele de Ag au fost depuse pe trei tipuri de BT cu granulatii diferite (obtinute hidrotermal  $\sim$  zeci de nm si respectiv de  $\sim$  sute de nm, prin reactie in stare solidă, fiind calcinate la  $1000^\circ\text{C}$  si respectiv la  $1100^\circ\text{C}$  pentru a varia granulati pulberilor).



**Figura 14.** Difractograme ale pulberilor hibride si ale compositelor flexibile  $x(y\text{Ag}-(1-y)\text{BT}_{\text{GS}})-(1-x)\text{PVDF}$ .

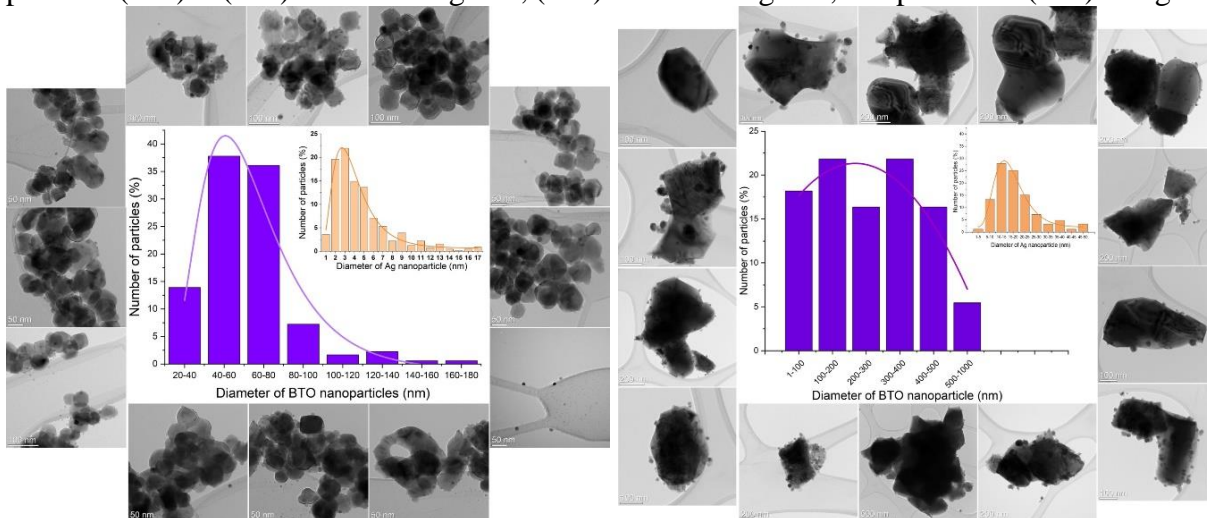
**4.1.3.2. Prepararea si investigarea straturilor flexibile compozite cu matrice de PVDF si inclusiuni hibride de Ag- $\text{BaTiO}_3$ ,  $\text{BaTiO}_3$  avand dimensiuni diferite. A doua clasa de compozite flexibile a fost realizata prin inglobarea in PVDF a unor particule hibride de  $\text{BaTiO}_3$  cu diferite granulatii, decorate cu**



**Figura 15.** Spectre FTIR ale compozitelor flexibile  $x(y\text{Ag}-(1-y)\text{BT}) - (1-x)\text{PVDF}$

In continuare, din analiza combinata XRD si FTIR urmeaza a se cuantifica fractia fazei cristaline in compozit si daca prezenta incluziunilor de Ag-BT cu diferite marimi ale particulelor de BT si diverse concentratii modifica ponderea fazelor cristaline  $\alpha$ ,  $\beta$ ,  $\gamma$  ale polimerului matrice PVDF.

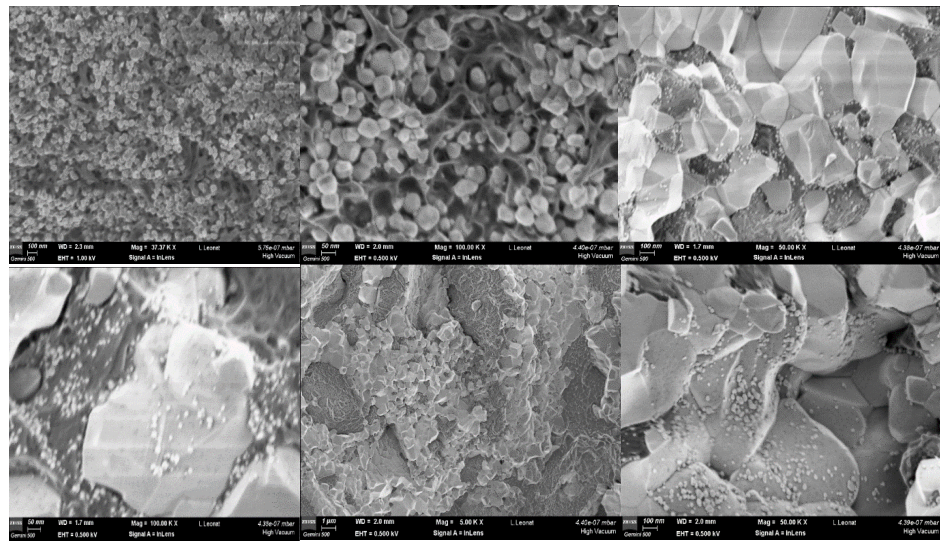
**4.1.3.2. Caracterizare micro si nanostructurala.** Studiul TEM/HRTEM si analiza elementala EDX a pulberilor de Ag-BT cu diferite dimensiuni ale BT inainte de inglobare in polimer a fost realizata de catre partenerul INCDFM. In cazul folosirii BT ultrafin (diametrul mediu de 60.7nm), se obtin pe suprafetele particulelor initiale de BT prin precipitare si tratament termic, particule fine de Ag cu diametrul mediu de 4,7 nm, ambele tipuri de nanoparticule fiind caracterizate de distributii log-normale (Figura 16a). Diagramele de difractie de electroni indica o coexistenta a mai multor faze cristaline in cazul particulelor fine de BT, putand fi identificate spoturi specifice planelor (002) si (104) ale BT hexagonal, (100) ale BT tetragonal, etc. precum si (111) al Ag cubic.



**Figura 16.** Distributii dupa dimensiuni ale nanoparticulelor de Ag si BT in pulberea compozit 2%Ag-98% BT<sub>nano</sub>, precum si o parte din imaginile CTEM folosite pentru realizarea lor.

In cazul BTO obtinut prin reactie in stare solida calcinat la 1000°C, diametrul mediu al particulelor sale este de 266 nm, cu o distributie larga (granule in domeniul 55-704 nm), iar al Ag precipitat pe suprafata acestora are diametrul mediu de 17.6 nm (Figura 16b). Dimensiunile mai mari ale Ag se

explica prin suprafata specifica mai mica in cazul pulberii de BT cu granulatie mai mare, care creeaza un numar mai mic de centre de nucleatie pentru formarea particulelor de Ag primare in timpul precipitarii din solutie. Pentru toate tipurile de pulberi, spectrele EDX inregistrate au aratat ca nu exista alte elemente chimice in afara celor asteptate:

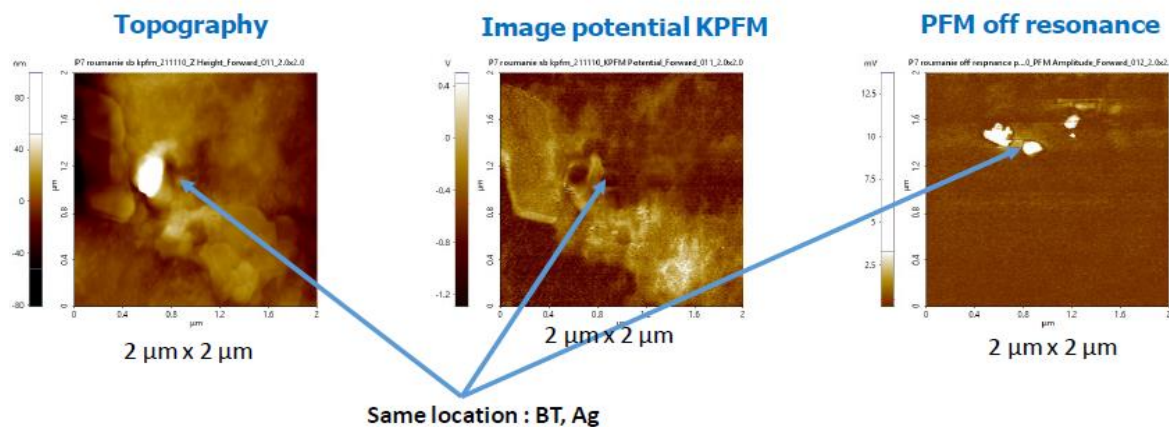


**Figura 17.** Imagini SEM obtinute din fractura nanocompozitelor cu 2%Ag-98% BTO in matrice de PVDF, in care BTO au trei granulatii diferite

Ba, Ti, Ag, O (esantionului), Cu si C (grila de microscopie).

Analiza SEM pe suprafata si in sectiune transversala (realizate in crio-fractura proaspata) a filmelor groase cu diferite compozitii  $x(y\text{Ag}-(1-y)\text{BT})-(1-x)\text{PVDF}$  si analiza elementalala EDX a compozitelor (exemplu in Figura 17).

**4.1.3.3 Raspuns piezoelectric (PFM) si electrostatic (KPFM).** A fost evaluat raspunsul piezoelectric (Piezoforce microscopy PFM) si electrostatic (Kelvin probe microscopy KPFM) la nanoscala in compozitele hibride cu Ag-BT in matrice de PVDF (Figura 18).

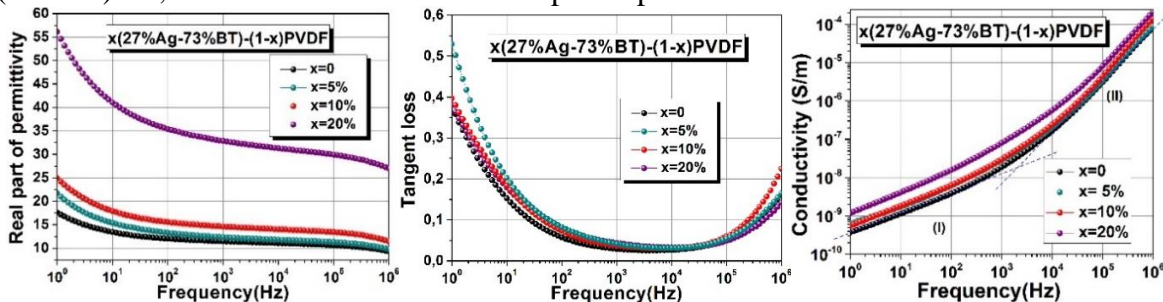


**Figura 18.** Topografie 2D, potential de suprafata (KPFM) si raspuns piezoelectric PFM pe suprafata compozitului 20%(27%Ag-73%BT)-80%PVDF

De exemplu, pentru compozitul cu formula 20% (27%Ag-73%BT)-80%PVDF cu BTO calcinat la 1000°C, a fost evideniat un raspuns piezoelectric semnificativ in special in zonele bogate in BT,

precum si o distributie a potentialului electric local, care prezinta particularitati in vecinatatea nanoparticulelor metalice si este uniform in zona bogata in PVDF, avand valori mai mici in vecinatatea BTO, datorita permitivitatii mari a acestuia.

**4.1.3.4. Rolul aditiei de Ag-BT asupra proprietatilor electrice ale compozitelor.** Proprietatile electrice ale compozitelor au fost determinate in functie de trei parametri care au variat: (i) dimensiunea initiala a particulelor de  $\text{BaTiO}_3$ , (ii) aditia de nanoparticule de Ag din pulberele hibride si (iii) aditia totala de incluziuni hibride in PVDF (la cantitati date de Ag din pulberea initiala). Toti acestei parametri duc la cresterea permitivitatii fata de cea a polimerului pur PVDF. De exemplu, Figura 19 arata cresterea permitivitatii de circa trei ori odata cu aditia totala de incluziuni hibride pentru o concentratie de 27%Ag in pulberea initiala, pentru compozitul cu formula  $x(27\%\text{Ag}-73\%\text{BT})-(1-x)\text{PVDF}$ : de la 12 ( $x=0$ ) la 35 ( $x=20\%$ ) la 100Hz si respectiv, de la 10 ( $x=0$ ) la 30 ( $x=20\%$ ) la  $10^5\text{Hz}$ . Pierderile dielectrice nu se modifica practic cu aditia de particule hibride, avand valori mai mari la frecvente joase  $\text{tg}\delta \sim 50\%$  (1Hz) (polarizare interfaciala–Maxwell Wagner) si la frecvente mari  $\text{tg}\delta \sim 20\%$  ( $10^6\text{Hz}$ ) (probabil relaxare Debye), insa scad la 6-8% pentru  $f \in (10^2-10^5)$  Hz, domeniul in care filmele compozite pot fi folosite in condensatori flexibili.



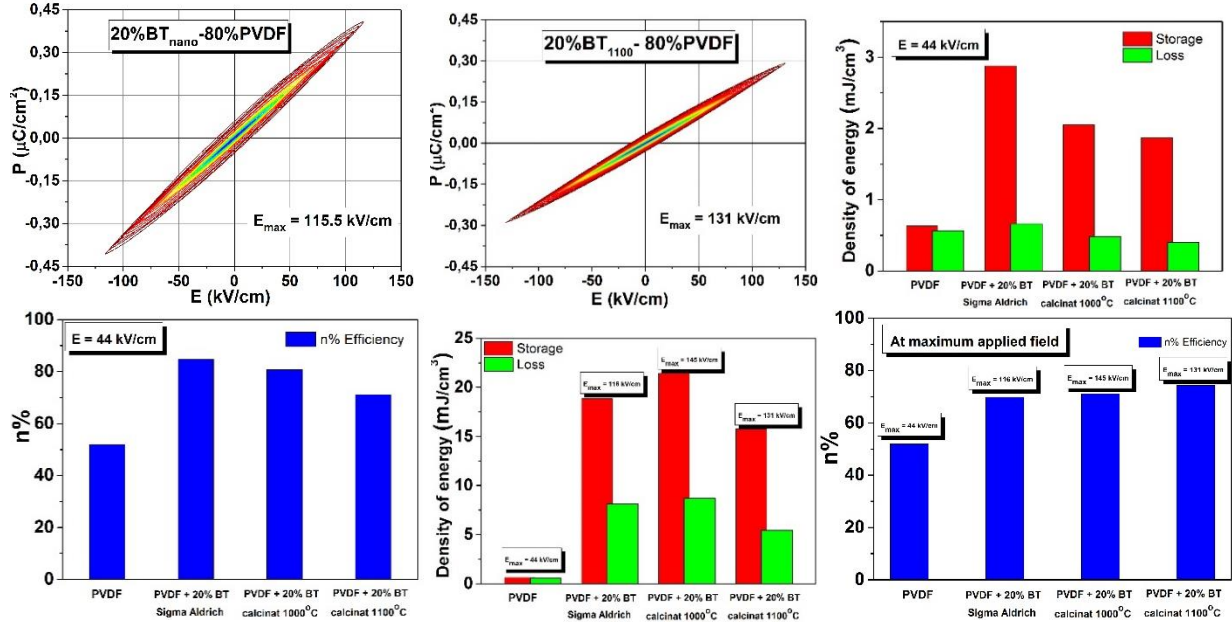
**Figura 19.** Variatia in frecventa la temperatura camerei a proprietatilor electrice ( $\epsilon$ ,  $\text{tg}\delta$  si  $\sigma_{ac}$ ) in compozitul cu formula  $x(27\%\text{Ag}-73\%\text{BT})-(1-x)\text{PVDF}$

Conductivitatea dc inca scade liniar la frecvente joase, deci  $\sigma_{dc}$  va avea valori cu cel putin un ordin de marime sub  $10^{-10}\text{S/m}$ . Conductivitatea  $\sigma_{dc}$  prezinta doua regiuni distincte de variație liniara cu frecvența in scara log-log, corespunzand a doua contributii diferite care se modifica la cca  $10^3\text{Hz}$ . Mecanismele de relaxare dielectrica si ale conductivitatii vor fi analizate in detaliu in etapele urmatoare in functie de temperatura, pentru a se optimiza acest tip de compozite pentru a limita pierderile dielectrice.

**Activitate 4.2.2. Calcularea densitatii de energie inmagazinate in aceste straturi subtiri dielectrice incorporate in condensatori pe substraturi rigide si flexibile si corelarea acestor valori cu marimea nanoparticulelor constitutente si fractia de masa a acestora in straturi subtiri nanocompozite. Analiza efectelor de interfata metal-semiconductor-dielectric**

**I. Valori experimentale.** Din dependentele P(E) obtinute pentru straturile groase de Ag-BT inglobate in PVDF, au fost determinate energiile stocate si pierderile prin histerezis, precum si eficienta de stocare, pentru diferite campuri si pentru valoarea maxima a campului la care au rezistat aceste materiale compozite (~145 kV/cm). Datorita cresterii semnificative a permitivitatii fata de cea a PVDF pur, toti parametrii sunt superioiri in compozite fata de cele corespunzatoare polimerului. Pentru compozitele de BT-PVDF rezultatele sunt comparabile cu cele din literatura la aceste valori de camp (Figura 20), insa sunt foarte mici comparativ cu cele mai bune rezultate obtinute in materiale flexibile care au rezistat la campuri de pana la ~400 MV/m. Este de asteptat

ca prezenta Ag sa aduca o crestere a capacitatii de stocare prin cresterea permitivitatii; aceste compozitii vor fi analizate in etapele urmatoare. In continuare va trebui inca lucrat la optimizarea parametrilor de procesare din solutie care sa asigure cresterea densitatii esantioanelor, precum si a omogenitatii incluziunilor de BT si Ag-BT in matricea polimerica.



**Figure 20.** Exemple de dependente  $P(E)$  si caracteristicile de stocare de energie electrostatica pentru filme groase de BT-PVDF cu diferite compozitii si granulatii ale BT.

**II. Modelarea Proprietatilor Dielectrice ale Compozitelor pe Baza de  $\text{BaTiO}_3$ .** În această etapă a fost studiat rolul incluziunilor de BT si Ag-BT asupra proprietăților dielectrice efective în compozite cu matrice polimerica (PVDF). S-au utilizat metode numerice validate experimental în cazul altor sisteme compozite precum ceramici poroase [2] sau compozite Ag- $\text{BaTiO}_3$  [3]. Codurile de simulare numerică care au fost dezvoltate se bazează pe metoda elementului finit (FEM), în care se rezolvă ecuația Laplace cu condițiile la limită specifice unui condensator cu plăci-plan paralele în elemente discretizate ale compozitului, rezultând potentialul electric local  $V_i$  și campul local  $E_i$  în fiecare dintre elementele discrete ( $i$ ) ale structurii. Apoi, se estimatează energiile electrostatice înmagazinate în fiecare element ( $i$ ), iar prin insumarea lor rezulta energia totală stocată:  $W_{tot} = \sum_{i=1}^N \epsilon_i E_i^2 V_i / 2$ , care pe de alta parte, trebuie să fie egală cu cea corespunzătoare unui mediu dielectric caracterizat prin permitivitatea efectivă:

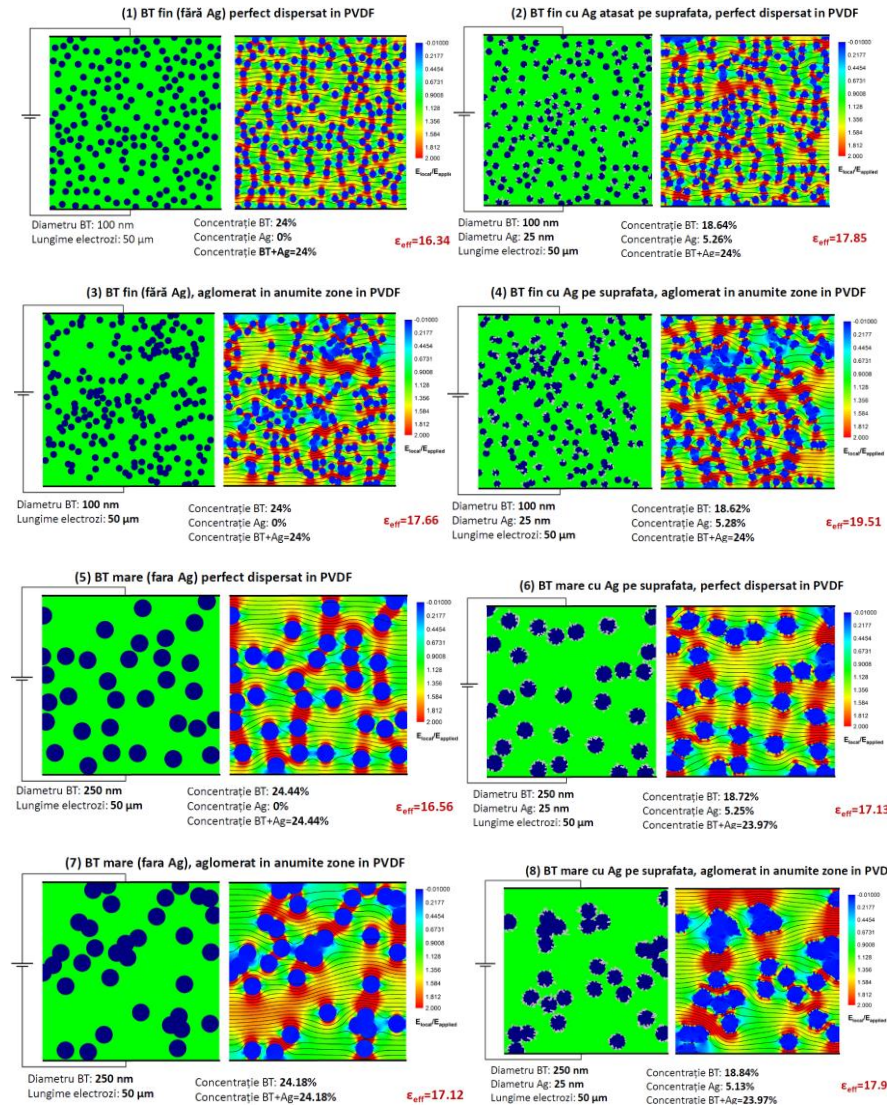
$$\epsilon_{eff} \cdot W_{tot} = \frac{\epsilon_{eff} \cdot E_{ext}^2 \cdot V_t}{2} \quad (2)$$

Din relația (2) se determină partea reală a permitivitatii efective. Au fost efectuate simulații pentru două tipuri de incluziuni de BT înglobate în matrice de PVDF:

- (1) particule fine,
- (2) particule grosiere, care sunt respectiv:

(i) perfect disperse sau  
(ii) parțial aglomerate în anumite regiuni fiind sau nu decorate cu nanoparticule ultrafine de Ag atașate pe suprafețele lor. Permitivitatile relative au fost considerate în simulații ca având următoarele valori:  $\epsilon_{PVDF}=10$ ,  $\epsilon_{BT}=1000$ ,  $\epsilon_{Ag}=10^6$  (de fapt,  $\epsilon_{Ag} \rightarrow \infty$ ). Microstructurile simulate,

caracteristicile geometrice ale sistemului, valorile concentratiilor de Ag si BTO in fiecare caz precum si valorile obtinute din simulari pentru permitivitatea efectiva in fiecare caz sunt reprezentate in Figura 21.



**Figura 21.** Simulari FEM ale compozitelor BT-PVDF si (Ag-BT)-PVDF cu diferite granulatii ale BT perfect dispersate sau partial aglomerate.

(iv) in toate tipurile de sisteme considerate, fie perfect dispersate sau care prezinta diverse grade de aglomerare, adaugarea de nanoparticule de Ag pe suprafata BT are ca efect cresterea permitivitatii efective, iar efectul este mai pronuntat in cazul particulelor fine de BTO (Figura 21: 2 si 4). *Ca observatie generala, microstructurile reale obtinute experimental sunt probabil cel mai bine descrise de situatille din Figurile 21: 1, 2, 7 și 8.* Valorile energiei electrostatice stocate pentru o valoare a campului de 150 kV/cm sunt prezentate in Figura 22, de unde rezulta ca microstructura (4) care corespunde unei aditii de BT cu granulatie fina decorat cu nanoparticule de Ag, partial aglomerat in anumite zone conduce la o valoare maxima a permitivitatii si in

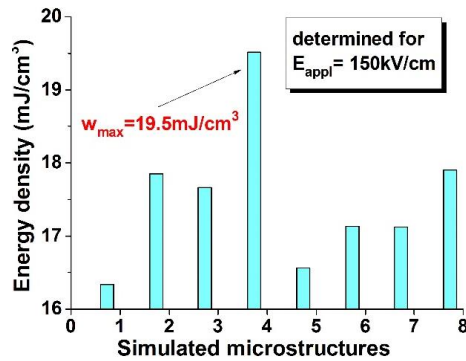
Rezultatele simularilor conduc la urmatoarele concluzii:

(i) permitivitatea efectiva nu depinde de dimensiunea particulelor (si de permitivitatea acestora) decat intr-o foarte mica masura;

(ii) permitivitatea efectiva depinde mult de microstructura (rezulta valori mai mari in cazul particulelor aglomerate decat in cazul particulelor perfect dispersate datorita concentrarii campului electric in vecinatatea zonelor de aglomerare unde distanta dintre particule scade);

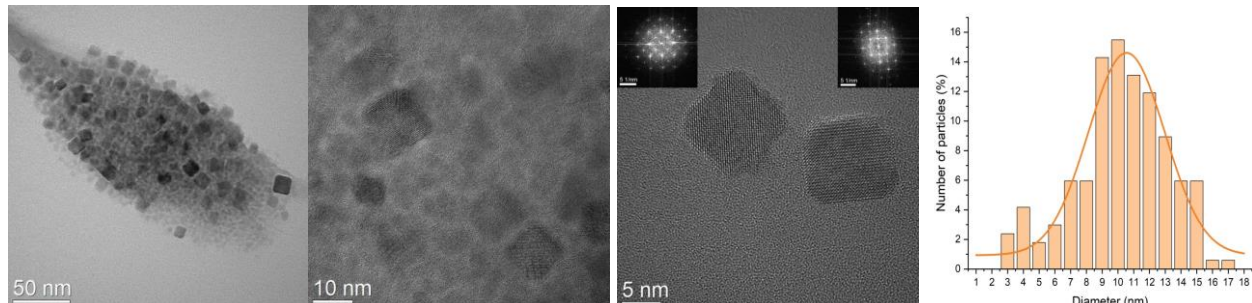
(iii) este posibil ca sistemele cu particule mari sa prezinte multe zone cu clusteri si, de aceea, sa prezinte valori mai mari ale permitivitatii efective, deci nu intotdeauna dispersarea perfecta este benefica pentru cresterea permitivitatii;

consecinta, la o densitate de energie stocata de  $19.5 \text{ mJ/cm}^3$ . Aceasta valoare este inca mica pentru a fi interesanta in aplicatii, insa o crestere a campului posibil de aplicat la  $600 \text{ kV/cm}$  ar putea conduce la o valoare substantial crescuta a energiei maxime stocate pana la  $312 \text{ J/cm}^3$ .



**Figura 22.** Densitati de energie calculate pentru microstructurile simulate in Fig. 21 la un camp aplicat de  $150 \text{ kV/cm}$

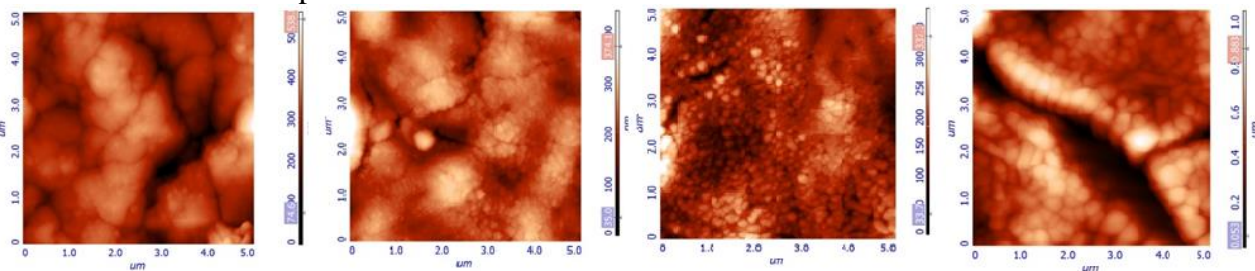
de aproximativ  $6\text{-}7 \text{ nm}$ . In imaginile HRTEM se pot observa nanoparticule cristalizate cu diametre mai mici in matrice. Doar cele cateva astfel de nanoparticule gasite in imaginile HRTEM au fost masurate si incluse in distributia de dimensiuni, dar ponderea lor per ansamblu este mult mai mare. Prin urmare, este de asteptat ca din masuratorile XRD sa rezulte un diametru mediu mai mic decat cel calculat pe baza imaginilor TEM.



**Figura 23.** Imagini reprezentative TEM si HRTEM, transformata Fourier si distributia de dimensiuni a nanoparticulelor, ilustrand faptul ca nanoparticulele de BTO se gasesc intr-o matrice partial cristalizata

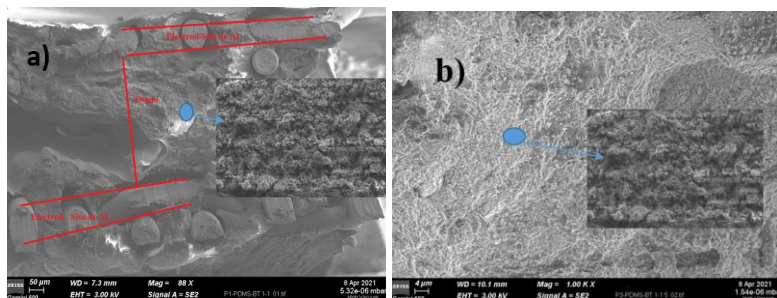
**4.3.2. Preparare de straturi subtiri.** Probele analizate au fost obtinute prin uscare la temperatura camerei si tratare ulterioara la urmatoarele temperaturi:  $700^\circ\text{C}$ ,  $800^\circ\text{C}$ ,  $900^\circ\text{C}$ ,  $1000^\circ\text{C}$ . Alte doua probe au fost uscate pe plita, la  $100^\circ\text{C}$  si tratate la  $700^\circ\text{C}$ , respectiv  $1000^\circ\text{C}$ . Probele au fost analizate prin microscopia optica, microscopia de forta atomica (AFM) (Figura 24) si difractie de raze X (XRD). Toate probele prezinta maxime de difractie caracteristice titanatului de bariu crescut tetragonal (indexat conform fisiei ICDD #01-070-9164). Straturile subtiri au fost uscate in conditii diferite pentru a identifica factorii care determina microstructura lor. Astfel, in cazul structurilor uscate in conditii ambientale si tratate termic la  $700^\circ\text{C}$  in cupitor, cu incalzire lenta ( $1^\circ\text{C}/\text{min}$ ) s-a observat ca prezinta o suprafata mai uniforma, fara crapaturi, dar cu ceva reziduuri (probabil din partea organica). Au fost depusi si electrozi de Au, de dimensiuni mici, cu speranta ca unii dintre ei nu vor avea crapaturi sub ei si se vor putea realiza masuratori electrice (in curs de desfasurare). Alternativ, au fost realizate filme composite de polimer cu inclusiuni de BaTiO<sub>3</sub>. Compozitele au fost obtinute prin amestecarea pulberii de BTO in polimer in diferite raporte

masice PDMS:feroelectric = 1:1 si PDMS:feroelectric = 1:1.5 pentru a obtine paste destul de vascoase astfel incat sa pota fi folosite in instalatia Dr. Blade.



**Figura 24.** Imagini AFM pentru straturi subtiri tratate la temperaturi diferite (de la dreapta la stanga : 700, 800, 900 si, respectiv, 1000 °C)

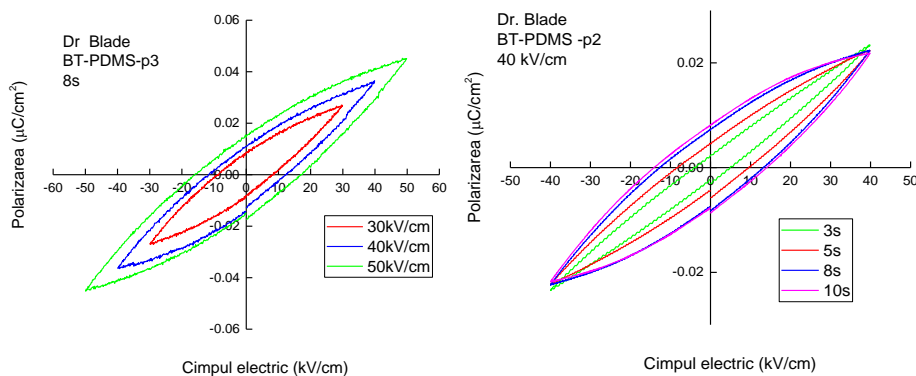
Polimerul PDMS a fost obtinut prin amestecarea bazei cu agentul de reticulare in raportul masic de 10:1 timp de 10 min. Filmele au fost obtinute prin metoda Dr. Blade folosind instalatia conceputa si produsa in INCDFM , ‘home made’ , cu o lama de intindere de tip “aplicator ajustabil” Elcometer 3580. Grosimea filmului poate fi ajustata in pasi de 10 microni pana la 6 mm. Metoda „doctor blade” este o metoda de sinteza care poate fi folosita pentru obtinerea pe suprafete mari de straturi oxidice subtiri sau groase. Tehnica „Doctor Blade” este o metoda ieftina cu aplicare in industrie, nu necesita aparate costisitoare, poate utiliza substraturi cu o geometrie flexibila si poate conduce la obtinerea unor suprafete lipsite de goluri sau crapaturi in conditii optimizate. Tratamentul termic de polimerizare s-a realizat la temperatura de 100°C timp de 1 ora. Caracterizarea feroelectrica s-a realizat pe pastile de compozit de forma patrata 10 x10 mm si grosimea in jurul valorii de 1mm, cu electrozi din sita de aluminiu (Al). Caracterizarea morfostructurala a filmelor de tip compozit PDMS-BTO a fost investigata prin difractie de raze X (XRD). Din difractograma de raze X se poate identifica existenta fazelor unice a materialului de interes, feroelectricul prezinta maxime de difractie inguste si intense ce apartin structurii tetragonale. Din analiza SEM (Figura 25) s-a evideniat omogenitatea compozitionala, dimensiunea medie a cristalitelor de BT este de sub 100 nm. S-au facut masuratori de polarizare ( $P$ ) in cimpuri electrice ( $E$ ), bipolare triunghiulare, cu valori maxime, cuprinse intre 20 kV/cm si 60 kV/cm, pentru caracterizarea proprietatilor feroelectrice. S-au



**Figura 25.** Imagini SEM corespunzatoare probelor PDMS:BT in raportul masic (a) 1:1 si (b) 1:1.5

diferentiat trei categorii de probe, denumite p1, p2, p3. S-au obtinut curbe de histerezis specifice materialelor dielectrice cu pierderi, asa cum se vede in Figurile 26a si 26b, in care sunt reprezentate curbele  $P-E$  pentru materialele p2, respectiv p3. Pentru proba p2, curbele au fost reprezentate pentru aceeasi valoare a cimpului maxim, dar cu perioade diferite, de la 3s la 10 s. Se observa cresterea suprafetei acestor curbe odata cu perioada de masura, datorita acumularii pierderilor dielectrice. Si in cazul probei p3, cu o concentratie mai mare de feroelectric, s-au obtinut curbe  $P-E$  cu pierderi, care cresc cu valorile cimpului maxim aplicat, pentru o valoare constanta a perioadei de 8s, asa cum se vede in Figura 26b. Aceeasi dependenta crescatoare se observa si in cazul polarizarilor maxime si remanente. Omogenitatea filmului de compozit obtinuta prin intinderea

pastei cu metoda dr Blade are un rol esential in reducerea pierderilor dielectrice, generate de prezenta porilor, de grosimea neuniforma si de micro-discontinuitatile pastei de compozit in timpul intinderii, care favorizeaza strapungerea dielectrica si aparitia curentilor de scurgere. Proba p1 desi are aceeasi componitie ca p2 are curbele de histerezis mult mai subtiri, cu valori ale polarizarilor maxime mai mari decit p2, ceea ce inseamna pierderi dielectrice mai mici si omogenitate mai mare

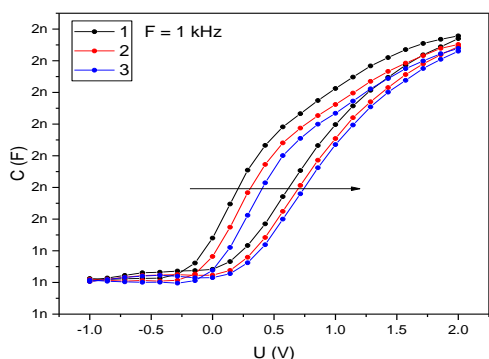


**Figura 26.** Curbele P-E (a) pentru proba p2, la cimp maxim de de 40 kV/cm si diferite perioade (figura din stanga); si pentru proba p3 la diferite valori ale cimpului maxim aplicat si aceeasi perioada (figura din dreapta).

bune. Curbele  $P-E$  ale probelor p2 si p3 sunt asemanatoare, diferența constind in valoarea mai mare a polarizarii maxime a probei p3, datorata concentratiei mai mari de faza ferofelectrica din compozit. Prezenta pierderilor determina „umflarea” curbei de histerezis si inclinarea acestia spre axa orizontala, rezultind astfel reducerea polarizarii maxime. Studiul comparativ al comportarii ferofelectrice a acestor probe permite estimarea calitatii filmelor de compozit obtinute prin aceasta metoda. Rezultatele obtinute pe probele composite sugereaza ca acest tip de material ar putea avea aplicatii in stocarea energiei insa trebuie optimizate pentru a creste densitatea masica de energie stocata.

#### 4.3.2. Determinarea prezentei centrelor care pot captura purtatorii de sarcina prin determinarea regimului de saturatie a mobilitatii acestora in regim de saturatie si compararea acestor rezultate cu cele obtinute prin masuratori in regim linear.

Centrii de captura prezenti la interfata dintre semiconductor si izolator au fost evidențiatii prin analize Current-Tensiune (pentru structuri TFT), Capacitate-Tensiune si TDRC – „thermal dielectric relaxation current” (pentru structuri MOS). Prezenta centrilor de captura determina aparitia histerezisului in curbele C-V dar si deplasarea acestora catre tensiuni mai pozitive pentru masuratori succesive (Figura 27) deoarece sarcinile electriche sunt trapate pe defecte cu constante de timp suficient de lungi, astfel incat acestea nu mai pot fi emise in timpul masuratorilor. Semnalul TDRC functie de temperatura permite determinarea distributiei starilor

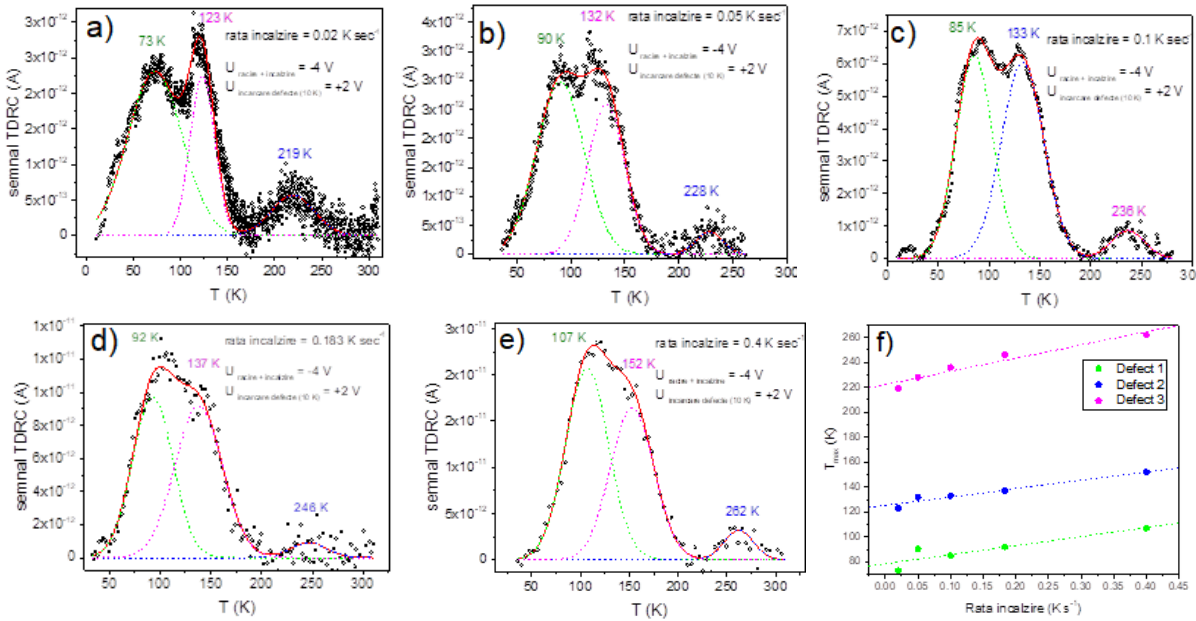


**Figura 27.** Dispersia caracteristicilor C-V inregistrate succesiv: prima inregistrare– negru, a doua inregistrare (rosu) si a treia inregistrare (albastru).

de interfata. Masuratorile de current TDRC au fost efectuate cu diferite rate de incalzire: 0.02 K/s, 0.05 K/s, 0.1 K/s, 0.183 K/s si 0.4 K/s si o tensiune de masura de -4 V (vezi Figura 28). Cresterea

a filmului de compozit. Proba p1 are curba de histerezis mult mai subtire decat ale probelor p2 si p3 si polarizarea maxima mai mare decit ale celorlalte doua probe, datorita pierderilor mai mici corespunzatoare unei omogenitati structurale mai

temperaturii cu o rata constanta de incalzire permite emisia purtatorilor de sarcina trapati pe starile de la interfata oxid-semiconductor sa fie emisi in benzile de energie. Astfel, in urma analizei semnalul TDRC au fost estimate densitatea si energia de activare a starilor de interfata.



**Figura 28.** Dependenta semnalului TDRC in functie de temperatura pentru constanta de incalzire de 0.02 K/s (a), 0.05 K/s (b), 0.1 K/s (c), 0.183 K/s (d) si 0.4 K/s (e); variatia temperaturii maxime de pic in functie de rata de incalzire pentru cele trei stari detectate: defect 1 (verde), defect 2 – albastru si defect 3 (magenta).

Au fost indentificate trei nivele de captura (D1, D2 si D3, vezi si Fig. 29) avand  $E_{t\max} = 0.05$  eV,  $0.15$  eV, respectiv  $0.33$  eV. Evaluarea densitatilor de stari cat si a energiei de activare a fost realizata utilizand ecuatii 1 si 2 [Pintilie, I. et al., J. Appl. Phys. **2010**, *108*, 024503; Zhang, J. et al., *Synchrotron Radiation*, **2012**, *19*, 340].

$$D(E_t) = \frac{S(T)}{q \times A \times \beta \left[ 1.92 \times \log\left(\frac{\nu}{\beta}\right) + 3.2 \right] \times 10^{-4} \text{eV/K}} \quad (1)$$

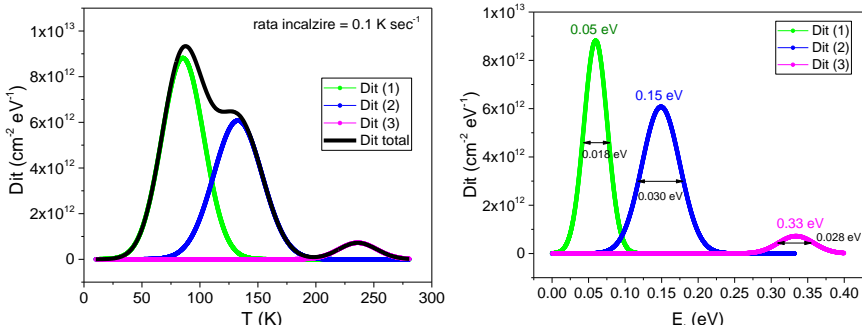
$$E_t = T \times \left[ 1.92 \times \log\left(\frac{\nu}{\beta}\right) + 3.2 \right] \times \frac{10^{-4} \text{eV}}{K} - 0.0155 \text{ eV} \quad (2)$$

$$\nu = 10^{(T_2 \log \beta_2 - T_1 \log \beta_1)/(T_2 - T_1)}$$

unde S(T) este semnalul TDRC, A este aria capacitorului MOS,  $\nu$  este un factor de frecventa si  $\beta$  este rata de incalzire. Parametrii celor trei stari de interfata pentru D1, D2 and D3 sunt:  $D_{it\max}$ :  $8.8 \times 10^{12}$ ,  $6.1 \times 10^{12}$  si  $7.4 \times 10^{11} \text{ cm}^{-2} \cdot \text{e} \cdot \text{V}^{-1}$  iar  $E_{t\max}$ :  $0.05$ ,  $0.15$  si, respectiv,  $0.33$  eV. Densitatea totala a starilor de interfata a fost estimata si din analiza caracteristicii de transfer liniara a tranzistorului (Figura 30) folosind ecuatie 3:

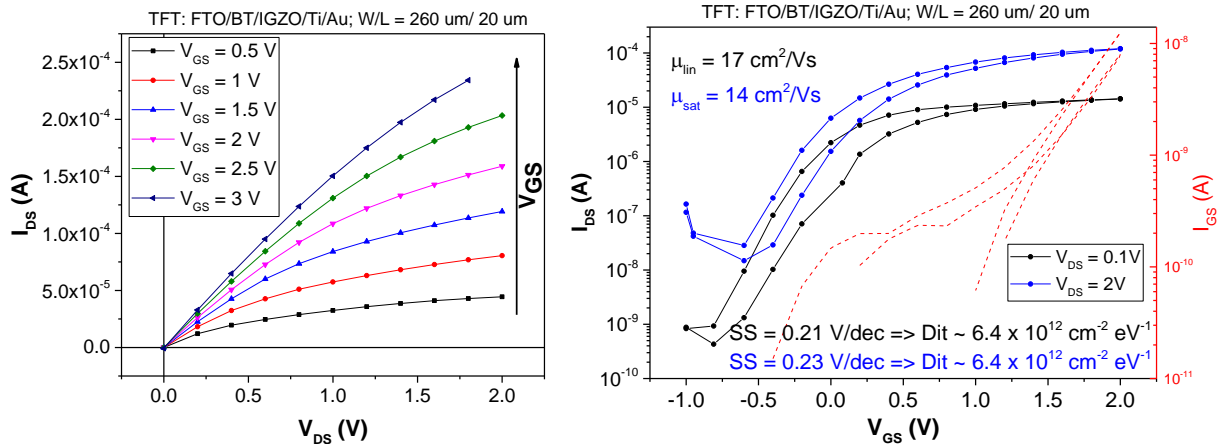
$$D_{it} = \frac{C_{ox}}{q^2} \left( \frac{q \cdot SS}{kT \ln 10} - 1 \right) \quad (3)$$

unde  $C_{ox}$  este capacitatea izolatorului si SS este panta curbei de curent in regiunea de subprag din



**Figura 29.** Distributia energetica a stariilor de interfata: Dit vs. T (a) si Dit vs. Et (b).

caracteristica de transfer liniara. Valoarea densitatii de stari evaluata folosind ecuatie 3 este  $6.4 \times 10^{12} \text{ cm}^{-2} \text{ eV}^{-1}$ , fiind de acelasi ordin de marime cu cea estimata prin analiza TDRC. Acestei densitatii de stari de interfata ii corespunde o mobilitate de canal de  $17 \text{ cm}^2/\text{V}\cdot\text{s}$  (in regim liniar) si  $14 \text{ cm}^2/\text{V}\cdot\text{s}$  (in regim de saturatie).



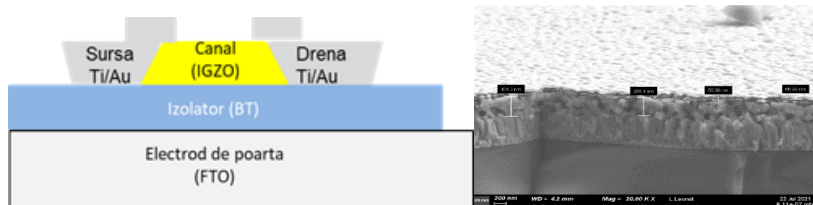
**Figura 30.** Caracteristica de iesire (a) si Caracterista de tranfer liniara (b) a unui tranzistor avand dimensiunile de canal, W/L = 260  $\mu\text{m}/20 \mu\text{m}$ .

Mobilitatea de canal a fost calculata folosind ecuațiile 4 (regim liniar) si 5 (regim de saturatie):

$$\mu_{lin} = \frac{L}{W} \frac{I_{DS}}{C_{ox}(V_{GS}-V_{th})V_{DS}} \quad (4)$$

$$\mu_{sat} = \frac{2L}{W} \frac{I_{DS}}{C_{ox}(V_{GS}-V_{th})^2} \quad (5)$$

unde L si W sunt lungimea si latimea canalului semiconductor si V<sub>th</sub> este tensiunea de prag.



**Figura 31.** Schema structurii FET sticla/FTO/BT/IGZO/Ti-Au (stanga) si SEM in sectiune (dreapta)

electrozii sursa/drena au fost fabricati prin fotolitografie, in conditii de camera curata. Dispozitivele fabricate au lungimea (L) canal de  $20 \mu\text{m}$ , largimea (W) fiind de  $80 \mu\text{m}$ ,  $100 \mu\text{m}$ ,

In Figura 31 sunt prezentate schema a unui tranzistor avand poarta de BT depus pe FTO si canal de IGZO si imaginea SEM in sectiune a structurii FET analizata in aceasta etapa. Electrozii sursa si drena sunt din Ti/Au. Atat canalul semiconductor cat si

140  $\mu\text{m}$ , 260  $\mu\text{m}$ , 300  $\mu\text{m}$  si 320  $\mu\text{m}$ . Parametrii unor tranzistori reprezentativi fabricati in aceasta etapa sunt prezentati in Tabelul 1.

**Tabelul 1.** Parametrii tranzistorilor fabricati

W	80	100	140	260	300	360
$I_{ON}/I_{OFF}$	$5.0 \times 10^3$	$1.3 \times 10^4$	$1.2 \times 10^3$	$1.9 \times 10^4$	$1.9 \times 10^4$	$3.9 \times 10^4$
$\mu_{lin}$	13	15	15	14	13	13

In concluzie, toate activitatile prevazute in această etapă au fost îndeplinite 100%, rezultatele obținute fiind foarte promițătoare în derularea activităților ulterioare prevăzute în cadrul proiectului.

### Diseminarea rezultatelor cercetarii

#### I. Articole Stiintifice

1. V.A. Lukacs, G. Caruntu, O. Condurache, C.E. Ciomaga, L.P. Curecheriu, L. Padurariu, M. Ignat, M. Airimioaei, G. Stoian, A. Rotaru, L. Mitoseriu, Preparation and properties of porous BaTiO<sub>3</sub> nanostructured ceramics produced from cuboidal nanocrystals, *Ceramics International* **2021**, 47, 18105.
2. Jiang, B.; Usher, T. M.; Jothi, P. R.; Kavey, B.; Caruntu, G.; Page, K. "Effect of Ligand Polarity on the Internal Dipoles and Ferroelectric Distortion in BaTiO<sub>3</sub> Nanocubes" *Chemistry- A European Journal*, **2021**, 27, 8365.
3. Tian, X.; Caruntu, G.; Kavey, B.; Tan, X., "In situ TEM measurement of electrical properties of individual BaTiO<sub>3</sub> nanocubes" *Appl. Phys Lett.*, **2021**, 118, 192901.
4. M. Nili-Ahmadababdi, R. Sarraf-Mamoory, A. Yourdkhani, A. Diaconu, A. Rotaru, Magnetic and electrical properties of Mg<sub>1-x</sub>Co<sub>x</sub>Fe<sub>2</sub>O<sub>4</sub> (x = 0-0.15) ceramics prepared by the solid-state method, *J. Eur. Ceramic Soc.*, **2022**, 42, 442.
5. N. Varastegani, A. Yourdkhani, S.A. Seyed Ebrahimi, A. Rotaru, The effects of sintering temperature on structural, electrical, and magnetic properties of MgFe<sub>1.92</sub>Bi<sub>0.08</sub>O<sub>4</sub>, *Journal of Electroceramics*, 46 (2021) 151-161
6. V. Mykhailovich, A. Kanak, Ş. Cojocaru, E.-D. Chitoiu-Arsene, M. N. Palamaru, A.-R. Iordan, O. Korovyanko, A. Diaconu, V. G. Ciobanu, G. Caruntu, O. Lushchak, P. Fochuk, Y. Khalavka, A. Rotaru, "Structural, Optical, and Catalytic Properties of MgCr<sub>2</sub>O<sub>4</sub> Spinel-type Nanostructures Synthesized by Sol-Gel Auto-Combustion Method", *Catalysts*, **2021**, 11, 1476.
7. D. Bartos, C. Burducea, I. Burducea, G. Caragheorgheopol, F. Constantin, L. Craciun, D. Dorobantu, M. Ghena, D. Iancu, A. Marcu, G. Mateescu, P. Mereuta, V. Moise, C. Negrilă, D. Negut, M. Petris, M. Petrovici, L. Radulescu, V. Aprodu, L. Prodan, A. Radu and G. Stoian, "Ageing studies of Multi-Strip Multi-Gap Resistive Plate Counters based on low resistivity glass electrodes in high irradiation dose", *Nuclear Inst. and Methods in Physics Research*, A, **2021**, accepted.
8. Pasuk, I.; Neatu, F.; Neatu, S.; Florea, M.; Istrate, C.M.; Pintilie, I.; Pintilie, L. "Structural Details of BaTiO<sub>3</sub> Nano-Powders Deduced from the Anisotropic XRD Peak Broadening" *Nanomaterials* **2021**, 11, 1121.
9. V.A. Lukacs, M. Airimioaei, L. Padurariu, L.P. Curecheriu, C.E. Ciomaga, A. Bencan, G. Drazic, M. Avakian, J.L. Jones, G. Stoian, M. Deluca, R. Brunner, A. Rotaru, L. Mitoseriu, "Phase coexistence and grain size effects on the functional properties of BaTiO<sub>3</sub> ceramics", *J. Eur. Ceram. Soc.* (in press) 2021 <https://doi.org/10.1016/j.jeurceramsoc.2021.12.024>

## **II. Participari la conferinte**

### **a. Conferinte Internationale**

1. N. Horchidan, C. Ciomaga, L. Curecheriu, L. Mitoseriu Preparation and functional properties of BaTiO<sub>3</sub>-based ceramics, , XV National Meeting on Electroceramics, 7 - 9 July 2021, Vitoria-Gasteiz, Spain (<https://cicenergigune.com/en/agenda/xv-national-meeting-electroceramics>) (**oral**)
2. V.A. Lukacs, L. Padurariu, L. Curecheriu, C. Ciomaga, L. Mitoseriu, Scale-dependent properties in BaTiO<sub>3</sub> ceramics with structural instability, 6<sup>th</sup> Edition International Workshop of Materials Physics, 14-16 September 2021, Bucharest, Romania (<https://infini.ro/event/6th-edition-of-the-international-workshop-of-materials-physics-first-announcement-2021>) (**invited**)
3. R. Stirbu, V.A. Lukacs, L. Padurariu, L. Mitoseriu, Investigation of anisotropic porosity in BaTiO<sub>3</sub>-based ceramics: Experiment and mesoscale models for strain-stress distributions, 14<sup>th</sup> ECerS Conference for Young Scientists in Ceramics (CYSC 2021), 20-23 October 2021, Novi Sad, Serbia (<http://old.tf.uns.ac.rs/cysc/>) (**oral**)
4. T. Matei, V.A. Lukacs, L. Curecheriu, L. Mitoșeriu, Role of composition on the electrocaloric properties of BaM<sub>x</sub>Ti<sub>1-x</sub>O<sub>3</sub> ceramics, 14<sup>th</sup> ECerS Conference for Young Scientists in Ceramics (CYSC 2021), 20-23 October 2021, Novi Sad, Serbia (<http://old.tf.uns.ac.rs/cysc/>) (**oral**)
5. V.A. Lukacs, L. Curecheriu, O. Condurache, M.T. Buscaglia, G. Caruntu, A. Rotaru, L. Mitoseriu, Comparative study of BaTiO<sub>3</sub> nanoceramics produced by nanocube and sphere-like nanoparticles with similar sizes, 14<sup>th</sup> ECerS Conference for Young Scientists in Ceramics (CYSC 2021) 20-23 October 2021, Novi Sad, Serbia (<http://old.tf.uns.ac.rs/cysc/>) (**oral**)
6. C.E. Ciomaga, L. Padurariu, L. Curecheriu, N. Horchidan, A. Rotaru, G. Caruntu, L. Pintilie, L. Mitoseriu, The role of microstructure on dielectric properties of polymer-based composites: Experiment and modelling, Sixth International Symposium on Dielectric Materials and Applications (ISyDMA'6), Littoral-Côte d'Opale University, 15-17 December 2021, Calais, France (**poster**)
7. Kavey, B.; Caruntu, D.; Rotaru A.; Caruntu, G. "Perovskite Nanocrystal Dielectrics for Flexible Electronic Applications", Materials Research Society, Fall Meeting, November 30-December 2, 2021, Boston, MA.
8. Aurelian Marcu, Razvan Ungureanu ,Bogdan Calin, Raluca Ianchis, Sevinci Pop, Mihai Serbanescu, Gabriel Cojocaru, „In-situ bio-compatible iron based nanoparticle fabrication with ultra-short laser pulses”, SPIE Optics & Photonics 2021, 1-5 August, San Diego, USA

### **b. Conferinte Nationale**

1. T. Matei, V.A. Lukacs, L. Curecheriu, L. Mitoșeriu, Rolul compoziției ceramicilor pe bază de BaTiO<sub>3</sub> asupra efectului electrocaloric, FarPhys - Sesiune de comunicări științifice studențești, Iasi, România, 29 octombrie 2021 (**oral**).

## **III. Brevete**

Un brevet cu Titlul *Procedeu de sinteză a particulelor de BaTiO<sub>3</sub> cu dimensiuni mai mari de 100 nm și morfologie cubică* este în lucru și va fi depus la OSIM în cursul lunii Decembrie 2021 sau Ianuarie 2022.

Director Proiect  
Conf. univ. dr. Aurelian ROTARU